



## سنتر و مشخصه‌یابی کامپوزیت سیمان- نanolوله کربنی تولید شده به روش نهشت بخار شیمیایی

فاطمه قهارپور<sup>۱</sup>, علی بهاری<sup>۲</sup>, مجید عباسی<sup>۳\*</sup>

۱- دانشجوی دکترا، فیزیک حالت جامد، دانشگاه مازندران، مازندران

۲- استاد، فیزیک حالت جامد، دانشگاه مازندران، مازندران

۳- استادیار، مهندسی مواد، دانشگاه صنعتی نوشیروانی بابل، بابل

\*بابل، صندوق پستی 47148-71167، abbasim@nit.ac.ir

### چکیده

تقویت مواد با استفاده از نanolوله‌های کربنی، رویکردی جدید در ساخت کامپوزیت‌های نو و پیشرفته است. در این بین، استفاده از نanolوله‌های کربنی برای تقویت مواد سیمانی از جمله سیمان‌های ترمیمی مورد توجه قرار گرفته است. چالش مهم در ساخت کامپوزیت سیمان- نanolوله کربنی تولید شده به روش نهشت بخار شیمیایی ارزیابی شده است. این سنتر در دمای ۸۰۰ درجه سانتی‌گراد و با استفاده از گاز استیلن به عنوان منبع کربنی، آرگون به عنوان گاز حامل و اکسید آهن هماتیتی به عنوان عامل کاتالیستی انجام شد. از روش تلقیح مرطوب برای آماده‌سازی بستر کاتالیستی شامل ذرات سیمان و اکسید آهن استفاده شد. مشخصه‌یابی کامپوزیت سیمان- نanolوله کربنی و کیفیت نanolوله‌های کربنی بهترین با استفاده از تصاویر میکروسکوپ‌های الکترونی رویشی و عبوری و آنالیز اشعه ایکس و طیف‌سنجی رامان انجام شد. همچنین بهره‌کربنی محصول سنتر شده به وسیله آتالیز حرارتی جرمی تعیین شد. نتایج حاصل از آزمایش‌ها نشان داد که به روش نهشت بخار شیمیایی امکان رسوب نanolوله‌های کربنی با توزیع قطری، بهره و کیفیت مناسب وجود دارد. همچنین مشاهده شد که بیشتر نanolوله‌های کربنی سنتر شده دارای سرهای باز هستند که بیانگر رشد از سر نanolوله‌های کربنی است. در نهایت نتایج آزمون‌های مکانیکی نشان داد که حضور نanolوله‌های کربنی با ساز و کار پل‌زدن، بیرون‌زدگی و پرکردن تخلخل‌ها موجب تقویت مقاومت فشاری نمونه‌های ملات سیمان شده است.

### اطلاعات مقاله

دریافت: ۹۵/۶/۱۶

پذیرش: ۹۵/۱۰/۱

### کلیدواژگان:

سیمان

نانولوله کربن

کامپوزیت

نهشت بخار شیمیایی

## Synthesis and characterization of cement-CNT composite produced by CVD process

Fatemeh Ghaharpour<sup>1</sup>, Ali Bahari<sup>1</sup>, Majid Abbasi<sup>2\*</sup>

1- Department of Physics, University of Mazandaran, Mazandaran, Iran

2- Department of Materials Science and Engineering, Babol Noshirvani University of Technology, Babol, Iran

\*P.O.B. 47148-71167, Babol, Iran, abbasim@nit.ac.ir

### Keywords

Cement  
Carbon nanotubes  
Composite  
Chemical vapor deposition

### Abstract

Reinforcing of materials using carbon nanotubes are new approach for development of new and or advanced composites. In the meantime, the use of carbon nanotubes to reinforce cementitious materials, especially reconstructing cement, is considered. The synthesis process of nanotubes on cement is the main problem in making the composite. In the paper, synthesis and characterization of cement-CNT composite produced by CVD process was investigated. The CVD process at 800°C using acetylene gas as a carbon source, argon as carrier gas and hematite iron oxide as a catalyst was performed. Wet impregnation method for preparing the catalyst bed of cement and iron oxide particles were used. FESEM, EDX, TEM and Raman spectroscopy were used to characterization CNTs/Cement composite and the size, morphology and quality of CNTs respectively. The growth yield of carbon nanotubes was determined by TGA. The results showed that the chemical vapor deposition method allows the deposition of carbon nanotubes with proper distribution of diameters and quality. It was also observed that most of the synthesized carbon nanotubes have open ends that represent the end growth of the carbon nanotubes. Finally the result of mechanical tests indicated that CNTs addition to the cement paste dramatically the increased compressive strength by bridging between cracks and filling pores.

### Please cite this article using:

Ghaharpour, F., Bahari, A. and Abbasi, M., "Synthesis and characterization of cement- CNT composite produced by CVD process", In Persian, Journal of Science and Technology of Composites, Vol. 4, No. 3, pp. 295-302, 2017.

برای ارجاع به این مقاله از عبارت زیر استفاده نمایید:

**۱- مقدمه**

رشد یافتند. سان و همکاران [15] در سال 2013 مروری بر کارهای انجام شده در مورد ساخت کامپوزیت مواد سیمانی تقویت شده توسط نانولوله‌های کربنی به روش سنتر مستقیم نانولوله روى بستري از پودر سیمان به روش نهشت بخار شیمیایی ارائه دادند. با این روش مواد هیبریدی جدیدی ارائه شد که در آن نانولوله‌ها و نانوفیبرهای کربنی به ذرات سیمان چسبیده‌اند. هدف این تحقیق سنتر نانولوله کربنی روی بستر سیمانی تلقیح شده به وسیله نانوذرات اکسید آهن به روش نهشت بخار شیمیایی، بررسی مورفولوژی، فراوانی بهره سنتر و کیفیت نانولوله‌های کربنی و در نهایت بررسی اثر حضور نانولوله‌های کربنی بر مقاومت فشاری نمونه‌های ملات سیمان شامل نانولوله‌های کربنی بوده است.

**۲- مواد و روش تحقیق****۲-۱- روش سنتر نانولوله‌های کربنی بر روی بستر سیمانی**

در این تحقیق از سیمان پرتلند ضدسولفات تهیه شده از کارخانه سیمان تهران حاوی 5.5 درصد وزنی اکسید آهن هماتیتی<sup>۷</sup> استفاده شد. برای افزایش درصد اکسید آهن در ترکیب سیمان از روش تلقیح مرطوب [12] و برای سنتر نانولوله‌های کربنی روی بستر سیمانی از روش نهشت بخار شیمیایی که در آن گاز استیلن به عنوان منبع کربنی و گاز آرگون به عنوان گاز حامل به کار رفته، استفاده شده است. مراحل انجام فرایند سنتر به این صورت است که در ابتدا شیر گاز آرگون باز می‌شود تا هوا از داخل محفظه لوله کوارتز کاملا خارج شده و آرگون جایگزین شود. سپس دمای کوره از دمای اتاق تا دمای مورد نظر افزایش می‌یابد. شار گاز استیلن و آرگون در طی فرایند سنتر (15 دقیقه) به ترتیب در نرخ 15 و 150 SCCM ثابت نگه داشته شد. پودر سیمان به صورت کاملا یکنواخت بر روی زیرلایه‌ای از جنس شیشه کوارتز پخش می‌شود و در مرکز لوله کوارتز و در ناحیه گرمایی کوره قرار داده می‌شود. بعد از آن، گاز استیلن در مدت زمان معین از درون راکتور و روی پودر سیمان عبور داده می‌شود و بعد از این مدت کوره خاموش و استیلن قطع می‌شود.

شناسایی فازهای موجود در ترکیبات پودر سیمان و نانوکامپوزیت سیمان/ نانولوله کربن به وسیله آنالیز پراش پرتو ایکس و با دستگاه XPert MPD از شرکت فیلیپس در ولتاژ 40 kV و جریان 30 mA با منبع تابشی CoKa کار می‌کند، انجام شد. داده‌های کمی پودر سیمان شامل اندازه بلوری و درجه بلوری شدن به وسیله فرمول شر و با استفاده از نرم افزار X Powder محاسبه شد. مقادیر اکسید فلزی پودر سیمان مورد استفاده در این تحقیق با روش فلورسانس پرتو ایکس و با استفاده از دستگاه ARL8410 تحت ولتاژ 40 kV تعیین شد. پایداری حرارتی نمونه‌ها و مقدار نانولوله‌ها و سایر ترکیبات کربنی رشدیافته روی بستر سیمانی به وسیله آنالیز گرماسنجی احتراقی (TGA) با مدل دستگاه NETZSCH TG 209 F1 Iris تحت 800°C در محدوده دمایی 100 تا 800°C تحت شارش گاز اکسیژن با خلوص 99.99% صورت گرفت.

مورفولوژی نانولوله‌های کربنی به وسیله میکروسکوپ الکترونی روبشی مدل MIRA3-TESCAN مجهز به دستگاه طیفسنجی پراش پرتو ایکس و همچنین میکروسکوپ الکترونی عبوری با مدل Zeiss-EM10C بررسی شد و همچنین کیفیت نانولوله‌های کربنی سنتر شده بر روی بستر سیمانی به وسیله اسپکتروسکوپی رaman و با دستگاه Almega ThermoNicolet تعیین شد.

<sup>7</sup> Fe<sub>2</sub>O<sub>3</sub>

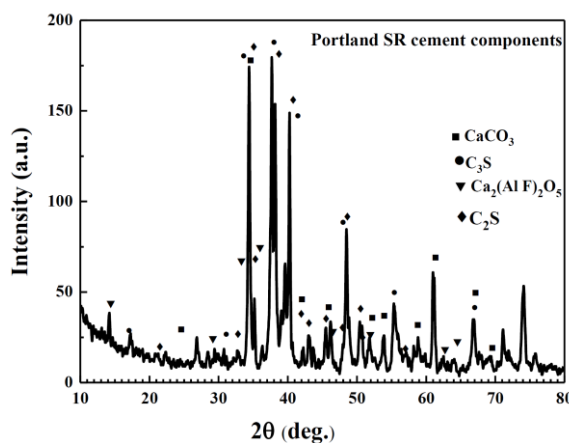
سیمان از پر مصرف ترین مواد در صنعت برای تولید سازه‌های عظیم نظری پل‌ها، تونل‌های طویل، برج‌ها، چاه‌های نفت و... محسوب می‌شود. کاربرد گسترده سیمان و مباحث مربوط به نگهداری و ترمیم سازه‌های سیمانی، نیاز به تحقیقات بر روی تقویت خواص مکانیکی، الکتریکی و دوام مواد سیمانی به ویژه از طریق افزودن مواد نانومتری را بیشتر کرده است [3-1].

طی سال‌های اخیر، نانو مواد کربنی مانند نانوفیبرها و نانولوله‌های کربنی و گرافن‌ها به علت خواص سیار مفید و چشم‌گیرشان مانند استحکام کششی، مدول الاستیسیته، هدایت الکتریکی و گرمایی بالا برای ساخت کامپوزیت با کاربردهای چندگانه بسیار مورد توجه هستند [4-6]. نانوماد کربنی به علت وجود نیروی ضعیف و اندروالسی ذاتا تمایل به توهش‌شدن داردند به همین دلیل یکی از اشکالات بزرگ کامپوزیت‌هایی که از مواد کربنی در آن‌ها استفاده شده است، پخش همگن مواد کربنی در زمینه کامپوزیت است [7].

روش‌های زیادی برای پخش بهتر نانولوله‌های کربنی در ماده زمینه از جمله روش‌های فیزیکی مانند استفاده از امواج فرماصوتی و روش‌های شیمیایی مانند استفاده از سورفتکتانت‌های مختلف و عامل دار کردن نانولوله‌ها به وسیله اسیدشویی با اسیدهای مختلف، مورد استفاده قرار گرفته است. اما در بهترین شرایط صرفنظر از اثرات منفی سورفتکتانت‌ها در مقادیر بالا و آسیب‌های ساختاری که نانولوله‌ها در جریان اسیدشویی متحمل می‌شوند و یا کوتاه شدن طول نانولوله‌ها در اثر آلتراسونیک، درصد ماده کربنی مورد استفاده در ترکیب کامپوزیت در روش‌های فوق، بسیار کم خواهد بود. همین مساله باعث می‌شود که اثرات کافی در تقویت کنندگی کامپوزیت اتفاق نیافتد [8-11].

سنتر مستقیم نانولوله و نانوفیبرهای کربنی بر روی ماده بستر به روش نهشت بخار شیمیایی<sup>۱</sup> روش جدیدی است که سبب توزیع مناسب‌تر و مقدار بیشتر تقویت کننده در ماده زمینه می‌شود. نکات مهم در بهارگیری این روش، استفاده از بستر و ذرات کاتالیستی مناسب و به مقدار کافی است. بهترین موادی که برای سنتر نانولوله‌های کربنی و نانوفیبرهای کربنی پیشنهاد می‌شود، به ترتیب CaCO<sub>3</sub> و Al<sub>2</sub>O<sub>3</sub>, SiO<sub>2</sub>, MgO و Fe, Cu و Ni به عنوان کاتالیست می‌باشد [12]. نظر به اینکه سیمان به طور طبیعی شامل اکثر ترکیبات فوق می‌باشد، به عنوان یک ماده ساختمانی ارزان قیمت و در دسترس گزینه مناسبی برای رشد نانولوله‌های کربنی محسوب می‌شود. نسیبلین<sup>۲</sup> و همکاران [13] در سال 2009 ماده هیبریدی پایه سیمانی را در یک فرایند ساده یک مرحله‌ای و به روش CVD بر روی بستر سیمانی سنتر کردند که در آن ذرات سیمان همزمان به عنوان کاتالیست و ماده بستر استفاده شد. این دستاورده اجراه داد که یک ماده هیبریدی جدید نانوساختار ساخته شود در حالی که نانولوله‌های کربنی و نانوفیبرها به ذرات سیمان چسبیده بودند و باعث شدند که توزیع یکنواخت نانولوله‌ها در ماده زمینه سیمانی به سادگی اتفاق بیافتد. همچنین دوننس<sup>۳</sup> و همکاران [14] در سال 2010 از روش CVD برای سنتر در جای<sup>۴</sup> نانولوله‌های کربنی بر روی خاکستر بادی<sup>۵</sup> استفاده کردند که شامل مقادیر اکسید آهن به عنوان کاتالیست اضافی بود. افزودن کاتالیست اضافی به روش هم رسوبی<sup>۶</sup> انجام شد. نتایج نشان داد که نانولوله‌ها و نانوفیبرها به خوبی روی خاکستر بادی تلقیح شده

<sup>1</sup> Chemical Vapor Deposition, CVD<sup>2</sup> Nasibulin<sup>3</sup> Dunens<sup>4</sup> Insitu<sup>5</sup> Fly ash<sup>6</sup> Impregnation



شکل ۱ طیف XRD سیمان پرتلند  
Fig. 1 XRD result of Portland cement

جدول ۲ فازهای اصلی تشکیل دهنده و اندازه ذرات سیمان پرتلند

Table 2 Main phases and particle size of the Portland cement

رابطه شر	نرمافزار X-Powder	فازهای مختلف سیمان	
		اندازه ذرات (نانومتر)	براساس
28	22	Calcite ( $\text{CaCO}_3$ )	
13	10	Larnite ( $\text{C}_2\text{S}$ )	
13	10	Calcium silicate ( $\text{C}_3\text{S}$ )	
8	6	Brownmillerite ( $\text{Ca}_2\text{Al}_2\text{Fe}_2\text{O}_3$ )	

جدول ۳ مقدار ترکیبات اکسیدی در سیمان پرتلند

Table 3 Analysis of oxides compneds on the Portland cement

	$\text{Na}_2\text{O}$	$\text{SO}_3$	$\text{MnO}$	$\text{MgO}$	$\text{K}_2\text{O}$	$\text{Fe}_2\text{O}_3$	ترکیب
درصدوزنی	0.04	3.8	0.2	2.4	0.86	5.5	
ترکیب	$\text{Al}_2\text{O}_3$	$\text{CaO}$	$\text{SiO}_2$	$\text{TiO}_2$	La & Lu	L.O.I	
درصدوزنی	4.2	63.3	16.0	0.23	<1	3.47	

فرآیند تجزیه گاز هیدروکربنی یک فرایند گرمایی است در نتیجه در جریان تجزیه گاز هیدروکربنی مقداری گرما آزاد می‌شود در حالی که بلوری شدن اتم‌های کربن یک فرایند گرمایی است. بنابراین اتم‌های کربن برای بلوری شدن مقداری از گرمای آزاد شده در فرایند تجزیه گاز هیدروکربنی را جذب می‌کنند. همین گرادیان دمایی دقیق است که باعث ادامه فرایند سنتر می‌شود. در حالت کلی دو ساز و کار برای رشد نانولوله کربنی بر روی بستر وجود دارد.

۱- اگر برهمنش بستر با ذرات کاتالیست ضعیف باشد، گاز هیدروکربنی بالای سطح کاتالیست تجزیه می‌شود و کربن آزادشده به داخل ذره کاتالیستی نفوذ کرده و به صورت نانولوله زیر ذره فلزی رسوب می‌کند و کاتالیست را به سمت بالا هل می‌دهد. در این شرایط، سطح بالای فلز همچنان برای تجزیه گاز هیدروکربنی آزاد است و گرادیان دمایی برای ادامه فرایند سنتر وجود دارد. با پوشیده شدن سطح فلز از ذرات کربن اضافی که در فرایند سنتر شرکت نکرده‌اند، فعالیت کاتالیستی ذره فلزی و متعاقب آن رشد نانولوله کربنی متوقف می‌شود. این روش رشد از سر نامیده می‌شود.

۲- در حالت دوم اگر برهمنش ذره کاتالیستی با ماده بستر قوی باشد، در مراحل اولیه همانند حالت قبلی تجزیه گاز هیدروکربنی روی سطح ذره

## ۲-۲- ساخت نمونه ملات سیمان و انجام آزمون‌های مکانیکی

در این تحقیق برای انجام آزمون‌های مکانیکی نمونه‌ها به صورت ملات ماسه سیمان تهیه شد که در آن از آب شرب شهری و سیمان پرتلند ضد سولفات مطابق استاندارد در تمام طرح اختلاط‌ها استفاده شده است. همچنین برای ساخت ملات ماسه سیمان از ماسه سیلیسی طبیعی مطابق استاندارد ASTM C778 و از نانوکامپوزیت سیمان/CNTs به عنوان افزودنی با درصد وزنی مشخص به ملات سیمان استفاده شده است. مطابق جدول ۱، سه طرح اختلاط شامل یک طرح شاهد و فاقد نانوکامپوزیت سیمان/CNTs و دو طرح‌ها از نانوکامپوزیت سیمان/CNTs با نسبت‌های ۵ و ۱۰ درصد وزنی سیمان به صورت جایگزین با سیمان استفاده شده است. طرح اختلاط نمونه‌های ملات ماسه سیمان مطابق استاندارد ASTM C109 با نسبت آب به پودر (سیمان + نانوکامپوزیت سیمان)، W/C، برابر ۰.۴۸۵ و نسبت سنتگدانه به سیمان، S/C ۲.۷۵ انجام شد. برای انجام آزمون‌های مکانیکی، پس از اختلاط کامل ملات به وسیله همزن، قالب‌گیری نمونه‌ها انجام پذیرفت که قالب مورد استفاده برای آزمون‌های فشار به شکل مکعب با ابعاد ۵۰ mm بوده است. نمونه‌ها پس از ۲۴ ساعت از قالب خارج و در مخزن آب با دمای  $23 \pm 2^\circ\text{C}$  تا زمان انجام آزمایش به منظور عمل آوری، نگهداری شد.

## ۳- نتایج و بحث

### ۳-۱- آنالیز فازی و ترکیبی سیمان پرتلند ضد سولفات

شکل ۱ آنالیز تفرق اشعه ایکس و جدول ۲ فازهای مختلف در ترکیب سیمان و اندازه ذره‌ها را که به وسیله نرمافزار X-Powder و رابطه شر اندازه‌گیری شده است را نشان می‌دهد. آنالیز تفرق اشعه ایکس نشان می‌دهد که فازهای اصلی تشکیل دهنده ترکیب سیمان، کربنات کلسیم<sup>۱</sup>، دو کلسیم سیلیکات<sup>۲</sup>، سه کلسیم سیلیکات<sup>۳</sup> و کلسیم الومینوفیریت<sup>۴</sup> هستند.

مقدار اکسیدهای فلزی و غیرفلزی موجود در ترکیب سیمان به وسیله آنالیز XRF تعیین شده که نتایج آن در جدول ۳ ارائه شده است. مطابق جدول ۳ ترکیبات اکسیدی اصلی تشکیل دهنده شر و  $\text{CaO}$  با مقدار به ترتیب ۶۳.۳ و ۱۶ درصد وزنی هستند. مقدار  $\text{Fe}_2\text{O}_3$  و  $\text{Al}_2\text{O}_3$  که برای سنتر به عنوان کاتالیست عمل خواهند کرد به ترتیب ۵.۵ و ۴.۲ گزارش شده است.

جدول ۱ طرح اختلاط ملات ماسه سیمان

Table 1 Mixture design of cement mortars

نمونه: ۱: شاهد (۰%)	آب (g)	ماسه سیمان (g)	W/C (%)	CNTs-cement (g)	CNTs- (اضافه شده)
نمونه: ۲: (۵%)	272	1540	560	0.485	0
نمونه: ۳: (۱۰%)	272	1540	532	0.485	28
	272	1540	504	0.485	56

### ۲-۳- تحلیل ریزساختاری نانولوله‌های سنتر شده

شکل ۲ تصاویر FE-SEM از بستر سیمانی و نانولوله‌های کربنی سنتر شده بر روی آن در بزرگنمایی‌های مختلف را نشان می‌دهد. تصاویر بیان کننده توزیع قطری مناسب و خلوص قابل قبول نانولوله‌های کربنی سنتر شده است [۱۶، ۱۷]. از مهمترین پارامترهای موثر در رشد نانولوله‌های کربنی به روش CVD می‌توان به نوع گاز هیدروکربنی مورد استفاده، دما و زمان سنتر همچنین نوع و مقدار کاتالیست به کار رفته اشاره کرد.

<sup>1</sup> Calcite ( $\text{CaCO}_3$ )

<sup>2</sup> Larnite ( $\text{C}_2\text{S}$ )

<sup>3</sup> Calcium silicate( $\text{C}_3\text{S}$ )

<sup>4</sup> Brownmillerite ( $\text{Ca}_2\text{Al}_2\text{Fe}_2\text{O}_3$ )

شکل ۳ تصاویر FE-SEM در دو بزرگنمایی مختلف و شکل ۴ تصاویر TEM نانولوله‌های کربنی رشدیافته بر روی بستر سیمانی را نشان می‌دهد. مشاهده می‌شود که بیشتر نانولوله‌های کربنی سنتز شده دارای سرهای باز هستند که می‌تواند بیانگر ساز و کار رشد از سر نانولوله‌های کربنی باشد.

شکل ۵ و جدول ۴ آنالیز EDX از سیمان پرتلند نمونه با نانولوله‌های کربنی سنتز شده بر روی بستر سیمانی حاوی ۲.۵ درصد کاتالیست اضافی را نشان می‌دهد. مقدار بالای کربن در این آنالیز عنصری تائید کننده حضور نانولوله کربنی در ساختار سیمان و تشکیل کامپوزیت پیشرفته سیمان/ CNTs است.

کاتالیستی اتفاق می‌افتد و اتم‌های کربن در داخل ذره فلزی نفوذ می‌کنند ولی نانولوله شکل گرفته روی ذره نمی‌تواند ذره را به سمت بالا هل بدهد بنابراین رسوبات مجبور هستند که از بالاترین نقطه فلز و دورترین فاصله از بستر که کمترین برهمنکنش با سطح وجود دارد، خارج شوند. در ابتدا کربن به صورت یک گنبده کروی (یک شبکه بسته از نانوذرات کروی) رسوب می‌کنند و بعد به صورت سیلندرهای گرافیتی بدون درز به سمت بالا گسترش پیدا می‌کنند. بعد از این مرحله رسوبات هیدروکربنی روی سطح جانبی پایین فلز اتفاق می‌افتد و ذرات کربنی حل شده به صورت نانولوله به سمت بالا رشد می‌کنند. این روش رشد از پایه نامیده می‌شود [۴].

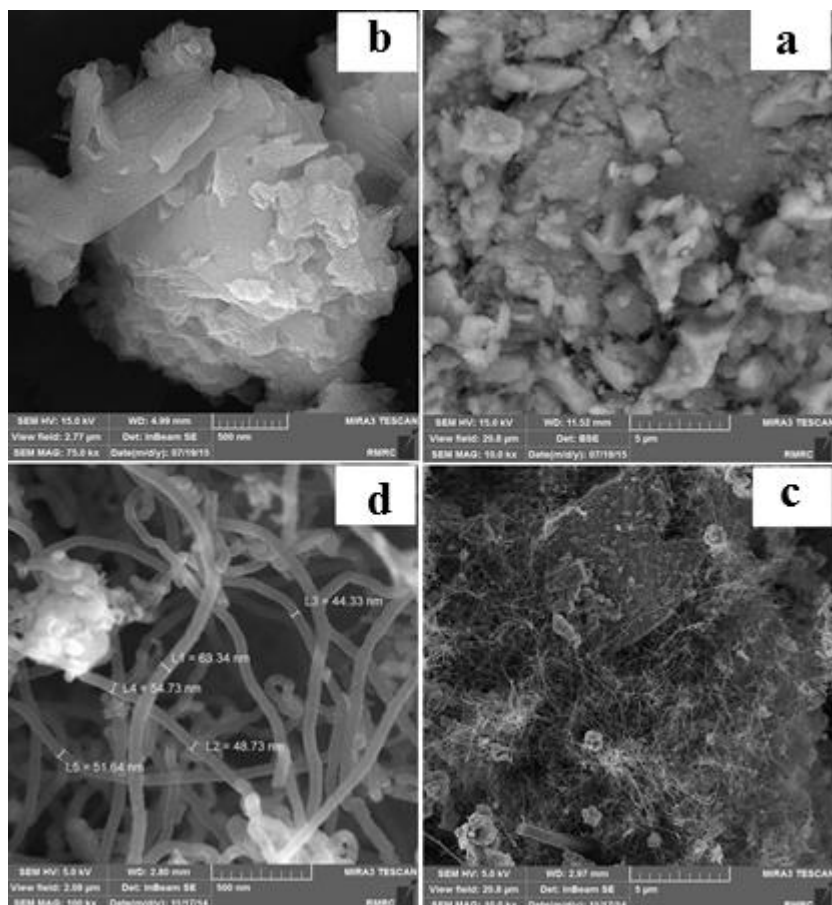


Fig. 2 FE-SEM images of: (a) and (b) cement, (c) and (d) CNTs deposited on the cement matrix

شکل ۲ تصاویر FE-SEM از (a) و (c) بستر سیمانی و (b) و (d) نانولوله‌های کربنی سنتز شده بر روی بستر سیمانی

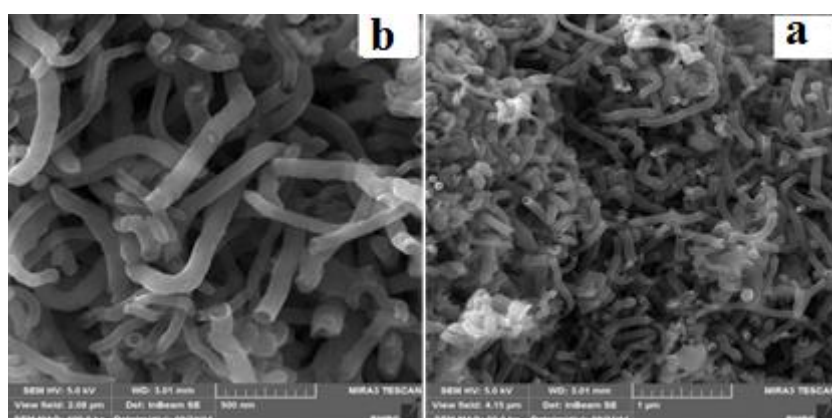
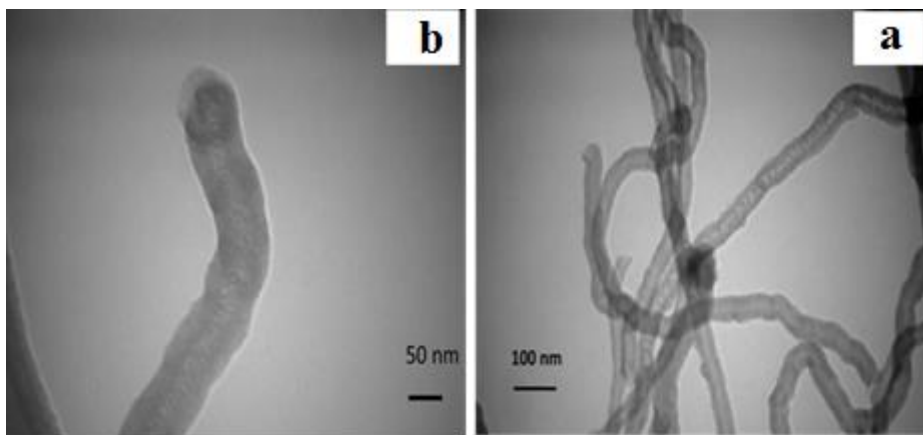
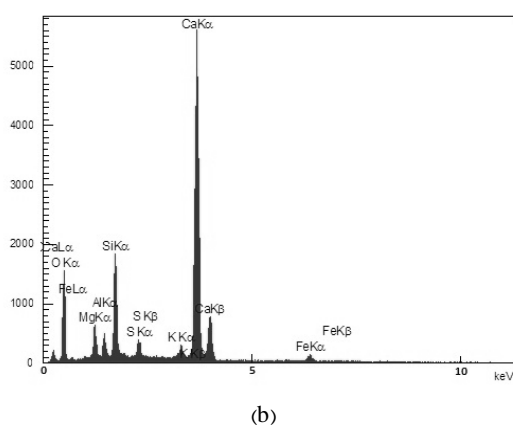


Fig 3 FE-SEM images of CNTs deposited on the cement matrix with Tip growth model at two magnifications

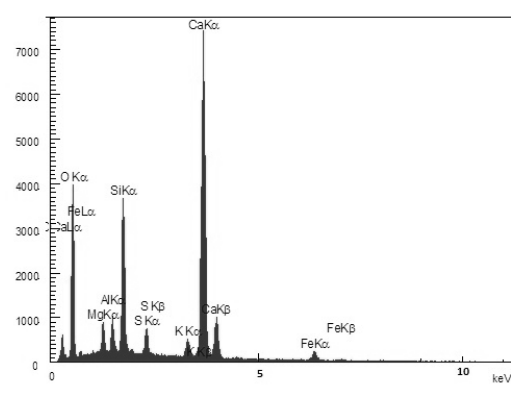
شکل ۳ تصاویر FE-SEM در دو بزرگنمایی مختلف از نانولوله‌های کربنی سنتز شده بر روی بستر سیمانی با مکانیزم رشد از سر



شکل ۴ تصاویر TEM از رشد نanolوله‌های کربنی بر روی دانه‌های سیمان در دو مقیاس مختلف



(b)



(a)

شکل ۵ طیف EDX از (a) سیمان پرتلند و (b) نمونه کامپوزیت شامل نanolوله‌های کربنی سنتر شده بر روی بستر سیمانی

جدول ۴ آنالیز TGA و تغییرات جرمی سیمان پرتلند و نمونه سنتر شده در بازه دمایی ۱۰۰-۸۰۰ درجه سانتی‌گراد (درصد وزنی)

Table 5 Wight loss of Portland SR cement and carbon deposits on cement particle obtained by TGA analysis

	700-800	600-700	500-600	400-500	محدوده دما (°C)	
درصد کاهش جرم نمونه سیمانی (wt.%)	-2.20	-0.75	-0.66	0.01	1360-1615	800-1000
درصد کاهش جرم نمونه سنتر شده (wt.%)	-0.2	-1.54	-4.78	-1.71	21,20	800-1000

جدول ۴ آنالیز عنصری EDX از سیمان و کامپوزیت سیمان- نanolوله‌های کربنی (درصد وزنی)

Table 4 EDX analysis of the Portland cement and cement-CNTs composite (wt.%)

	Fe	C	O	Mg	Al	Si	S	K	Ca	عنصر
سیمان	2.70	-	53.82	1.75	1.82	6.78	1.55	1.43	30.15	
کامپوزیت	2.07	18.28	73.12	1.17	1.03	5.0	0.93	0.54	33.02	

۴-۳- تحلیل طیف‌سنجی ارتعاشی رامان  
طیف رامان نanolوله‌های چند دیواره سنتر شده بر روی بستر سیمانی شامل دو پیک اصلی D و G به ترتیب در فرکانس‌های حدود  $1360\text{ cm}^{-1}$  و  $1615\text{ cm}^{-1}$  است [21,20]. باند D در طیف رامان به بینظمی‌های ساختاری و باند G به ارتعاشات مماسی اتم‌های کربن مرتبط است که می‌تواند معیار خوبی برای تعیین میزان گرافیتی بودن دیواره‌های نanolوله‌های کربنی باشد. همچنین نسبت شدت پیک D به G ( $I_D/I_G$ ) تعیین کننده کیفیت نanolوله‌های کربنی خواهد بود. شکل 7 طیف ارتعاشی رامان نanolوله‌های سنتر شده بر روی بستر سیمانی را نشان می‌دهد. برای این نمونه، نسبت

TGA - ۳-۶- تحلیل TGA و تغییرات جرمی سیمان پرتلند و نمونه سنتر شده در بازه دمایی ۱۰۰-۸۰۰ درجه سانتی‌گراد را نشان می‌دهند. کاهش جرم در بازه دمایی  $500-600^\circ\text{C}$  به  $800-1000^\circ\text{C}$  به ترتیب به تجزیه نانوفیبرهای کربنی، نanolوله‌های کربنی و کربنات‌کلسیم نسبت داده می‌شود [18,19]. به این ترتیب می‌توان نتیجه گرفت که فراوانی نانوفیبرها و نanolوله‌های کربنی در مجموع حدود 6 درصد وزنی ماده بستر بوده که مقدار قابل توجهی محسوب می‌شود. نمودارهای TGA برای سیمان پرتلند در همین بازه دمایی نشان می‌دهد که سیمان پایداری حرارتی بسیار بالایی دارد به طوری که حتی در دمایان بالا هم کاهش جرم آن بسیار ناچیز است.

دوم با 5 درصد وزنی سیمان سنترشده با CNT و ساز و کار پل زدن نانولوله‌ها بین ترک‌ها و پرکردن تخلخل‌ها را نشان می‌دهد. بنابراین نانولوله‌های کربنی در ساختار مواد سیمانی با ساز و کار پل زدن، بیرون‌زدگی و پرکردن تخلخل‌ها موجب تقویت مقاومت فشاری شده است [23,10].

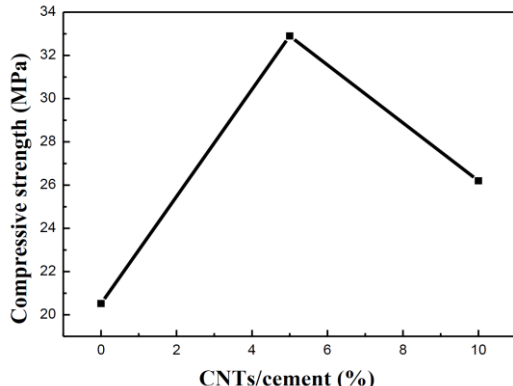


Fig. 8 Compressive strength of mortar samples with different CNTs/cement nanocomposite (%)

شکل ۸ مقاومت فشاری نمونه‌های ملات سیمان شامل درصدهای مختلف CNTs/ سیمان/ نانوکامپوزیت سیمان/ CNTs

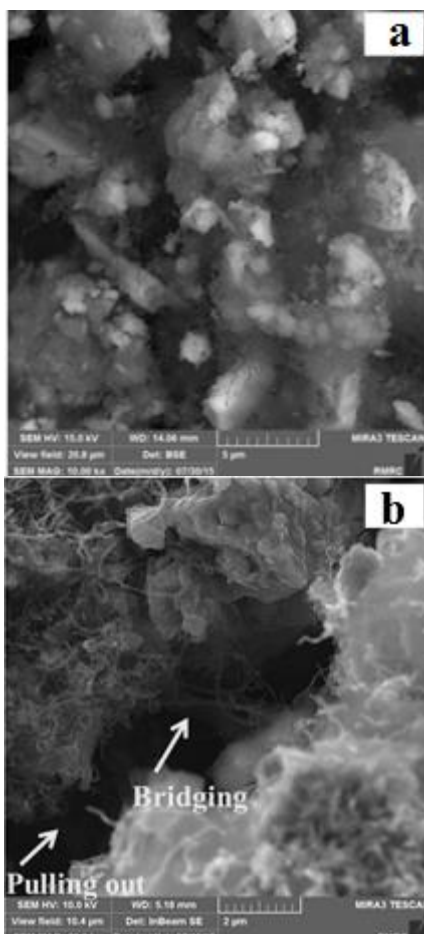


Fig. 9 FE-SEM images of: (a) CNTs distributions in the cement paste and (b) bridging of CNTs between cracks and filling of pores

شکل ۹ تصاویر از (a) توزیع نانولوله‌های کربنی در ساختار خمیر سیمان و (b) پل زدن نانولوله‌ها بین ترک‌ها و پرکردن تخلخل‌ها

ID/IG 1.09 است که نشان می‌دهد نانولوله‌های کربنی سنترشده دارای کیفیت مناسبی به لحاظ ساختاری است [21].

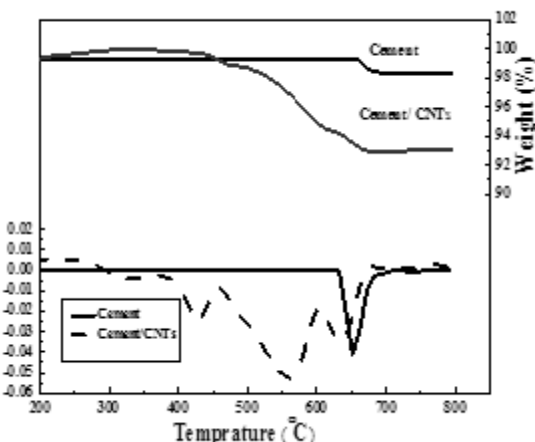


Fig. 6 TGA and DTGA of cement and cement/CNTs composite  
شکل ۶ نمودار TGA و DTGA از کاهش وزن سیمان و کامپوزیت سنتر شده  
CNTs/ سیمان/ CNTs

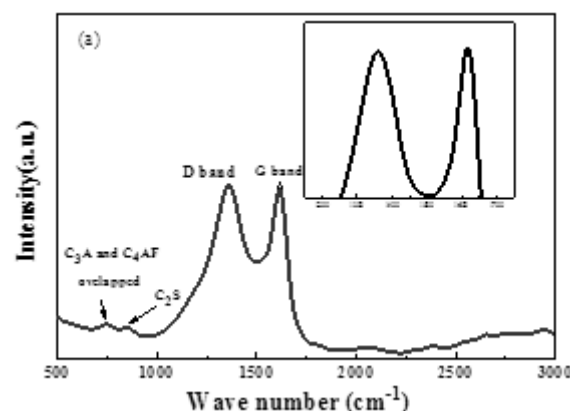


Fig.7 Raman spectrum of MWCNTs  
شکل ۷ طیف ارتعاشی رامان نانولوله‌های کربنی سنتر شده روی بستر سیمانی

### ۳-۵-۴- بررسی مقاومت فشاری

شکل 8 مقاومت فشاری نمونه‌های ملات سیمان با درصدهای مختلف از نانوکامپوزیت سیمان/CNTs را در حالت نهایی فرایند هیدراتاسیون و بعد از گذشت 28 روز نشان می‌دهد. مشاهده می‌شود که مقاومت فشاری نمونه‌های نانوکامپوزیت نسبت به نمونه شاهد افزایش قابل توجهی یافته است به طوری که بیشترین افزایش برای نمونه با اختلاط شماره 2 در حدود 71 درصد است (نمونه با 5 درصد نانوکامپوزیت سیمان/CNTs). بهبود در طرح اختلاط شماره 3 (با 10 درصد نانوکامپوزیت سیمان/CNTs) هم مشاهده شده است که الیه کمتر از طرح اختلاط شماره 2 است. این نشان می‌دهد که نقطه فرایند هیدراتاسیون سیمان با حضور نانولوله کربنی تغییراتی خواهد داشت که تعیین دقیق مقدار بهینه می‌تواند تابعی از مقدار آب و سیمان باشد. لذا بررسی دقیق تاثیر نانولوله کربنی بر خواص مکانیکی سیمان نیاز به مطالعات بیشتر در فرایند هیدراتاسیون سیمان دارد [22]. شکل 9 تصاویر از توزیع یکنواخت نانولوله‌های کربنی در ساختار خمیر سیمان (طرح اختلاط

- Yield And Low Temperature Growth," *Materials*, Vol. 3, No. 11, pp. 4871-4891, 2010.
- [13] Nasibulin, A.G. Koltsova, T. Nasibulina, L.I. Anoshkin, I.V. Semencha, A. Tolochko O.V. and Kauppinen, E.I., "A Novel Approach To Composite Preparation By Direct Synthesis Of Carbon Nanomaterial On Matrix Or Filler Particles," *Acta Materialia*, Vol. 61, No. 6, pp.1862-1871, 2013.
- [14] Dunens, O.M. MacKenzie, K.J. and Harris, A.T., "Synthesis of Multi-Walled Carbon Nanotubes on Red Mud'catalysts," *Carbon*, Vol.48, No. 8, pp. 2375-2377, 2010.
- [15] Sun, S. Yu, X. Han, B. and Ou J., "In Situ Growth Of Carbon Nanotubes/Carbon Nanofibers On Cement/Mineral Admixture Particles: A Review," *Construction and Building Materials*, Vol. 49, pp. 835-840, 2013.
- [16] Parveen, S. Rana, S. and Fangueiro, R., "A Review On Nanomaterial Dispersion, Microstructure, And Mechanical Properties Of Carbon Nanotube And Nanofiber Reinforced Cementitious Composites," *Journal of Nanomaterials*, Vol. 2013, pp. 80, 2013.
- [17] Warakulwita, C. Yadnuma, S. Palukaa, V. Phuakkonga, O. Niamlaema, M. Pongpaisansereeb, K. Sinthupinyob, S. and Limtrakula, J., "Controlled Production Of Carbon Nanofibers Over Cement Clinker Via Oxidative Dehydrogenation Of Acetylene By Intrinsic Carbon Dioxide," *Chemical Engineering Journal*, Vol. 278, pp. 150-158, 2015.
- [18] Tessonier, J.P. and Su, D.S., "Recent Progress on the Growth Mechanism of Carbon Nanotubes: A Review," *ChemSusChem*, Vol. 4, No. 7, pp. 824-847, 2011.
- [19] Dunens, O.M. Mac-Kenzie, K.J. and Harris, A.T., "Synthesis of Multiwalled Carbon Nanotubes on Fly Ash Derived Catalysts," *Environmental Science & Technology*, Vol. 43, No. 20, pp.7889-7894, 2009.
- [20] Dresselhaus, M.S. Dresselhaus, G., Jorio, A. Souza-Filho, A.G. and Saito, R., "Raman Spectroscopy on Isolated Single Wall Carbon Nanotubes," *Carbon*, Vol. 40, No. 12, pp. 2043-2061, 2002.
- [21] Felisberto, M. Sacco, L. Mondragon, I. Rubiolo, G.H. Candal, R.J. and Goyanes, S., "The Growth Of Carbon Nanotubes On Large Areas Of Silicon Substrate Using Commercial Iron Oxide Nanoparticles As A Catalyst," *Materials Letters*, Vol. 64, No. 20, pp. 2188-2190, 2010.
- [22] Choudhary, H. Anupama, A. Kumar, R. Panzi, M. Mattepanavar, S. Sherikar, B.N. and Sahoo, B., "Observation Of Phase Transformations In Cement During Hydration," *Construction and Building Materials*, Vol. 101, pp. 122-129, 2015.
- [23] Tyson, B.M., "Carbon nanotube and nanofiber reinforcement for improving the flexural strength and fracture toughness of Portland cement paste", Master's thesis, Texas A&M University, 2010.

#### ۴- نتیجه‌گیری

در این تحقیق نانولوله‌های کربنی چند دیواره بر روی بستر سیمانی به روش NESEM، FESEM و TEM مختالفی از جمله TGA و Raman برای تعیین مورفولوژی، فراوانی و کیفیت نانولوله‌های کربنی به کار گرفته شد.

- ۱- نتایج نشان دهنده سنتر موفق نانولوله‌های کربنی چند دیواره بر روی بستر سیمانی با توزیع قطری مناسب است.
- ۲- بیشتر نانولوله‌های کربنی سنتر شده دارای سرهای باز هستند که می‌تواند بیانگر رشد از سر نانولوله‌های کربنی باشد.
- ۳- فراوانی نانوفیبرها و نانولوله‌های کربنی در مجموع حدود ۶ درصد وزنی ماده بستر بوده که مقدار قابل توجهی محسوب می‌شود.
- ۴- نسبت  $I_D/I_G$  حاصل از طیف ارتعاشی رامان نانولوله‌های سنتر شده بر روی سنتر برابر ۱.۰۹ است که نشان می‌دهد نانولوله‌های کربنی سنتر شده دارای کیفیت مناسبی به لحاظ ساختاری است.
- ۵- حضور نانولوله‌های کربنی در ساختار مواد سیمانی موجب تقویت مقاومت فشاری می‌شود.

#### ۵- مراجع

- [1] Kim, H. Nam, I. and Lee, H., "Enhanced Effect Of Carbon Nanotube On Mechanical And Electrical Properties Of Cement Composites By Incorporation Of Silica Fume," *Composite Structures*, Vol. 107, pp. 60-69, 2014.
- [2] Musso, S. Musso, S. Tulliani, J.M. Ferro, G. Tagliaferro, A., "Influence Of Carbon Nanotubes Structure On The Mechanical Behavior Of Cement Composites," *Composites Science and Technology*, ,Vol. 69, No. 11, pp. 1985-1990, 2009.
- [3] Singh, L.P. Karade, S.R. Bhattacharyya, S.K. Yousuf, M.M. Ahalawat, S., "Beneficial Role of Nanosilica In Cement Based Materials-A Review," *Construction and Building Materials*, Vol. 47, pp. 1069-1077, 2013.
- [4] Popov, V.N., "Carbon Nanotubes: Properties and Application," *Materials Science and Engineering: R: Reports*, Vol. 43, No. 3, pp. 61-102, 2004.
- [5] Khosravi, H. Eslami-Farsani, R. Ebrahimnezhad-Khaljiri, H., "An Experimental Study On Mechanical Properties Of Epoxy/Basalt/Carbon Nanotube Composites Under Tensile And Flexural Loadings," *Journal of Science and Technology of Composites*, Vol. 3, No. 2, pp.754-781, 2016. (in Persian)
- [6] Esmaili, P. Azdast, T. Doniavi, A. Hasanzadeh, R. Mamaghani, S. Eungkee, R.L., "Experimental Investigation Of Mechanical Properties Of Injected Polymeric Nanocomposites Containing Multiwalled Carbon Nanotubes According To Design Of Experiments," In Persian, *Journal of Science and Technology of Composites*, Vol. 2, No. 3, pp. 67-74, 2015. (in Persian)
- [7] Wu, M. Johannesson, B. and Geiker, M., "A Review: Self-Healing In Cementitious Materials and Engineered Cementitious Composite As A Self-Healing Material," *Construction and Building Materials*, Vol. 28, No.1, pp. 571-583, 2012.
- [8] Chen, S.J. Collins, F.G. Macleod, A.J.N. Pan, Z. Duan, W.H. and Wang, C.M., "Carbon Nanotube-Cement Composites: A Retrospect," *The IES Journal Part A: Civil & Structural Engineering*, Vol. 4, No. 4, pp. 254-265, 2011.
- [9] Xu, S. Liu, J. and Li, Q., "Mechanical Properties and Microstructure of Multi-Walled Carbon Nanotube-Reinforced Cement Paste," *Construction and Building Materials*, Vol. 76, pp. 16-23, 2015.
- [10] Konsta-Gdoutos, M.S. Metaxa, Z.S. and Shah, S.P., "Highly Dispersed Carbon Nanotube Reinforced Cement Based Materials," *Cement and Concrete Research*, Vol. 40, No. 7, pp. 1052-1059, 2010.
- [11] Chiang, Y.C. Lin, W.H. and Chang, Y.C., "The Influence Of Treatment Duration On Multi-Walled Carbon Nanotubes Functionalized By  $H_2SO_4/HNO_3$  Oxidation," *Applied Surface Science*, Vol. 257, No. 6, pp. 2401-2410, 2011.
- [12] Magrez, A. Seo, J.W. Smajda, R. Mionić, M. and Forró, L., "Catalytic CVD Synthesis Of Carbon Nanotubes: Towards High

